

낮은 도통손실을 가지며 넓은 영전압 스위칭 범위를 갖는 두 개의 변압기를 이용한 능동 클램프 포워드 컨버터

문상철, 박기범, 문건우, 윤명중
한국과학기술원

A wide ZVS range two-transformer active-clamp forward converter with low conduction loss

SANGCHEOL MOON, KI-BUM PARK, GUNWOO MOON, MYUNGJOONG YOON
KAIST

ABSTRACT

Conventional active-clamp forward converter has narrow ZVS range of main switch. Although utilizing high magnetizing current can realize wide ZVS range, it increases the conduction loss. To solve this problem, a new asymmetric two-transformer active clamp forward converter is proposed. Proposed converter achieves wide ZVS range without severe conduction loss penalty, which results in high efficiency and high power density.

1. 서 론

최근 차세대 이동통신 장비, 자동교환기 등의 통신장비 등에서는 작은 사이즈로 고품질의 전원을 높은 효율로 공급해 줄 수 있는 전력 공급 장치를 요구하고 있다. 이런한 중소용량의 컨버터로서 비교적 효율이 높고 ZVS가 가능한 능동클램프 포워드 컨버터^[1]가 널리 사용 되어 왔다. 그러나 기존의 능동 클램프 포워드 컨버터의 경우 주 스위치의 ZVS가 힘든 단점이 있다. 이런한 단점을 보완하고 도통손실을 줄이기 위한 기존의 방법으로 자화전류의 크기를 조절하는 방법이 있다. 자화 전류의 크기를 줄이면 도통손실을 줄일 수 있으며, 자화 전류의 크기를 늘리면 주 스위치의 ZVS 범위를 넓힐 수 있다. 그러나 자화 전류의 크기가 줄어들면 ZVS 범위가 줄어들고, 자화 전류의 크기를 늘리면 도통손실이 커지는 단점이 있다. 기존의 방법으로는 이 두 가지 조건을 만족 시킬 수 없다. 이를 해결하기 위해 본 논문에서는 두 개의 변압기를 이용한 능동클램프 포워드 컨버터^[2-4]의 새로운 동작방법을 제안한다. 새롭게 제안하는 컨버터는 두 개의 변압기의 자화 인덕터를 비대칭으로 사용함으로써 도통손실을 줄이고 ZVS 범위를 넓힌다는 장점을 갖는다.

2. 본 론

2.1 동작원리

Fig 1은 제안된 컨버터의 회로도이다. 자화전류가 비대칭인 두 개의 변압기가 직렬로 연결되어서 출력단에 전력을 공급하게 된다. 변압기가 교반하여 인덕터로서의 역할을 하기 때문에 출력 인덕터가 부가적으로 필요하지 않고, 캐패시터만으로 필터링을 할 수 있다. 기본 동작은 기존의 능동 클램프 포워드와 동일하다. 스위치 Q1만 on 된 구간이 1차측에서 2차측으로 전

력이 넘어가는 파워링 구간이고, 스위치Q1, Q2가 off 된 구간은 ZVS 및 커뮤테이션 구간, 스위치 Q2만 on 된 구간은 변압기 리셋 구간이다. 자세한 동작원리는 다음의 6개 모드로 나누어 설명할 수 있다.

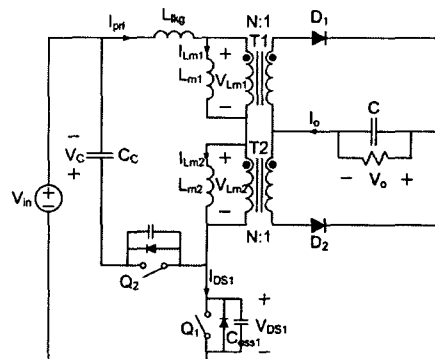


Fig 1 Schematic of the proposed converter

2.2 모드해석

Fig 2는 정상상태에서 제안된 컨버터 동작의 주요 파형을 나타내고 있다. Fig 3은 각 모드별 동작상태를 나타낸 그림이다.

- Mode 1 ($t_0 < t < t_1$) : 스위치 Q1이 on 된 구간이다. 첫 번째 변압기가 forward type의 컨버터로서 동작하는 구간이다. D1은 도통되어있고 D2는 역방향 바이어스 되어있기 때문에 T1의 1차측에는 NV_o 의 전압이 걸린다. T2에는 $V_{in} - NV_o$ 의 전압이 걸리고 L_m2 가 출력 인덕터 역할을 하게된다. 이때 변압기의 1차측에 흐르는 전류는 다음과 같이 얻어진다.

$$I_{pri}(t) = \frac{V_{in} - NV_o}{L_m2} (t - t_0) + I_{pri}(t_0) \quad (1)$$

- Mode 2 ($t_1 < t < t_2$) : 스위치Q1이 off 된 순간 Q1의 캐패시터에 전하가 충전되기 시작하여 V_{DS1} 이 상승한다. V_{DS1} 가 V_{in} 까지 상승하게 되면 T1,2의 양단에 0V의 전압이 걸리게 되어 D1, D2가 도통하게된다.

- Mode 3 ($t_2 < t < t_3$) : D1, D2가 도통하면서 출력측 전류가 커뮤테이션하는 구간이다. D1을 통해 흐르던 전류가 점점 D2를 통해 흐르게 되고 V_{DS1} 는 $V_{in} + V_c$ 까지 상승하게 된다.

- Mode 4 ($t_3 < t < t_4$) : 스위치 Q2가 on된 구간이다.

이 구간에서 출력측 전류는 D2를 통해 흐르고 T1은 출력 인덕터로서 T2는 변압기로서 동작을 한다. T1의 1차 측에는 $V_c - NV_o$ 의 전압이 걸리고, T2의 1차 측에는 NV_o 의 전압이 걸린다. 이 때 변압기의 1차 측에 흐르는 전류는

$$I_{pri}(t) = -\frac{V_c - NV_o}{L_{m2}}(t - t_3) + I_{pri}(t_3) \quad (2)$$

으로 얻어진다.

- Mode 5 ($t_4 < t < t_5$) : 스위치 Q2가 off 된 순간 Q2의 캐패시터에 전하가 충전되고 누설 인덕턴스의 의해서 Q1의 캐패시터에서 방전이 일어난다. $V_{DS1} = V_{in}$ 일 때 2차 측에서 커뮤테이션이 시작된다.

- Mode 6 ($t_5 < t < t_6$) : D1, D2가 도통하면서 출력측 전류가 커뮤테이션하는 구간이다. D2를 통해 흐르던 전류가 점점 D1을 통해 흐르게 되고 V_{DS1} 의 전압이 '0' 까지 떨어지게 되고 t_6 에서 Q1이 on 되면서 Q1의 ZVS 가 된다. 이 때 ZVS 조건은 다음의 식과 같다.

$$\frac{1}{2}L_{lkq}(I_{pri})^2 > \frac{1}{2}C_{oss1}(V_{IN})^2 \times 2 \quad (3)$$

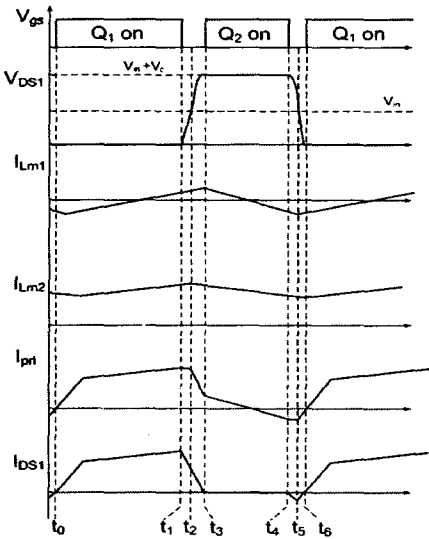


Fig 2 Key waveforms for mode analysis

3. 특성 비교 분석

먼저 (a) ZVS 범위를 넓히기 위해 자화인덕턴스를 줄인 기존의 컨버터와 (b) 도통손실을 줄이기 위해 자화인덕턴스를 늘린 기존의 컨버터와 (c) 제안된 컨버터 특성을 비교해보면 다음과 같다. 여기서 제안된 컨버터의 on time 동안 I_{pri} 의 기울기와 기존의 high L_m 의 I_{pri} 의 기울기가 같도록 L_m 값을 맞추었고 off time 동안은 low L_m 의 I_{pri} 의 기울기와 같도록 맞추었다. 즉

$$L_{ma} = \frac{V_c}{V_c - NV_o} L_{m1}, L_{mb} = \frac{V_{in}}{V_{in} - NV_o} L_{m2} \quad (4)$$

$$L_{m1} = kL_{m2} \quad (0 < k \ll 1)$$

Fig 4에서 보듯이 Q1이 on time 동안 $I_{pri,rms}$ 값이 가장 큰 (a) Low L_m 인 경우가 도통손실이 가장 크다. 그리고 (b) High L_m 인 경우와 (3) 제안된 컨버터는 비슷한 도통손실을 갖는다. ZVS 할 때 I_{pri} 의 피크치를 보면 High L_m 인 경우가 가장 작아 ZVS가 잘 되지 않는다. 그리고 Low L_m 인 경우와 제안된 컨버터의 경우 I_{pri} 피크치가 커서 ZVS 범위가 더 넓다. 자세한 수식은 Table 1에 정리

하였다.

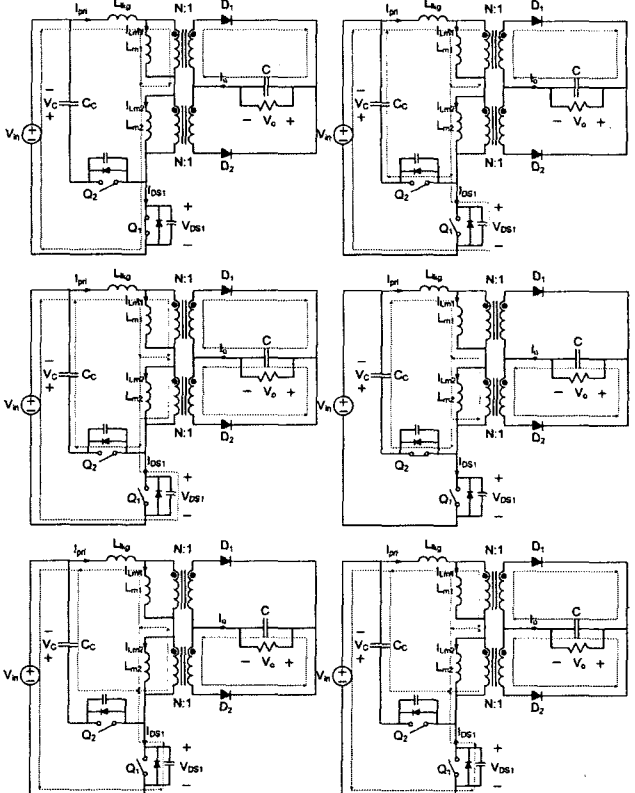


Fig 3 Mode 1~6

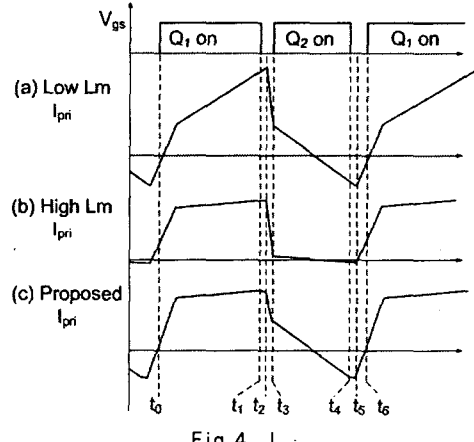


Fig 4 I_{pri}

Table 1 switch conduction loss and I_{pri}

	low L_m : L_{ma}	high L_m : L_{mb}	proposed converter
switch conduction loss	$\frac{(V_{in})^2(DTs)^2}{12(L_{ma})^2 + D^2(V_i)^2/R_o^2 N^2} R_{DS}$	$(V_{in})^2 D^3 T_s R_{DS}^2 / R_o^2 N^4$	$(V_{in})^2 D^3 T_s R_{DS}^2 / R_o^2 N^4$
I _{pri} at ZVS condition	$V_{in} D^3 T_s / 2kL_{mb} (1-D)^2$	$V_{in} D^2 T_s / 2L_{mb} (1-D)$	$V_{in} D^3 T_s / 2kL_{mb} (1-D)^2$
$Low L_m loss = \left(\frac{R_o^2 N^4 T_s^2}{12 L_{ma}^2} + N^2 \right) \times \frac{1}{DTs} > 1$			
$High L_m I_{pri} = \frac{(1-D)K}{D} < 1$			

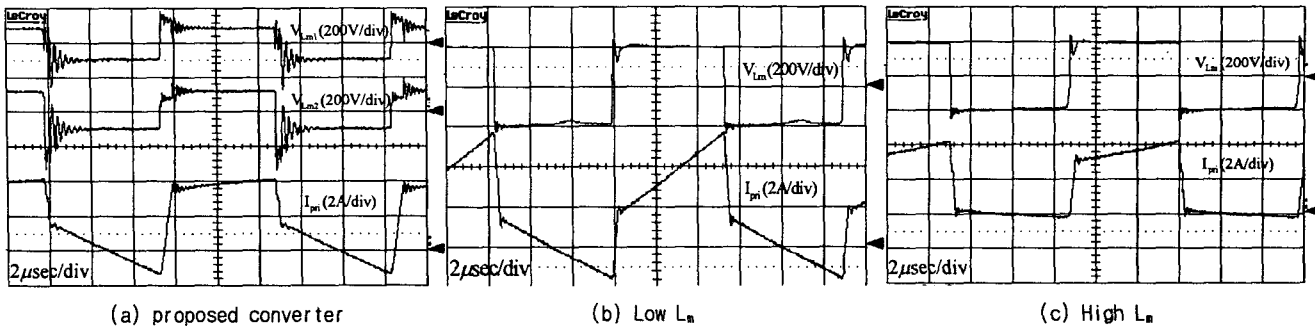


Fig 5 Experiment wave forms

4. 실험 결과

제안된 컨버터의 실험 사양은 다음과 같다.

- ◎ 입력 전압 $V_{in} = 200V$
- ◎ 출력 전압 $V_{out} = 50V$
- ◎ 출력 전력 $P_{out} = 250W$
- ◎ 스위칭 주파수 $F_s=100kHz$
- ◎ 턴비 $N_p : N_s = 2 : 1$
- ◎ Duty : D=0.5 at full load
- ◎ 자화 인더턴스 $L_{m1} = 170\mu H, L_{m2} = 2mH, L_{ma} = 335\mu H, L_{mb} = 1.83mH$
- ◎ 누설 인더턴스 $L_{kg} = 20\mu H$

Fig 5에서 첫 과형은 제안된 컨버터의 두 개의 트랜스포머 양단 전압과 I_{pri} 를 보여준다. 둘째 과형은 Low L_m 인 경우 변압기 양단 전압과 I_{pri} , 셋째 과형은 High L_m 인 경우 변압기 양단 전압과 I_{pri} 를 보여준다. Fig 6에서 첫째 과형은 정격에서 주 스위치의 ZVS가 잘되고 있음을 보여주고, 둘째 과형은 정격에서 보조 스위치의 ZVS를 보여준다. 세째 과형은 20% load에서 ZVS가 안 되는 것을 보여준다. 실험 결과 제안된 컨버터는 약 23% load 까지 ZVS가 가능하였다.

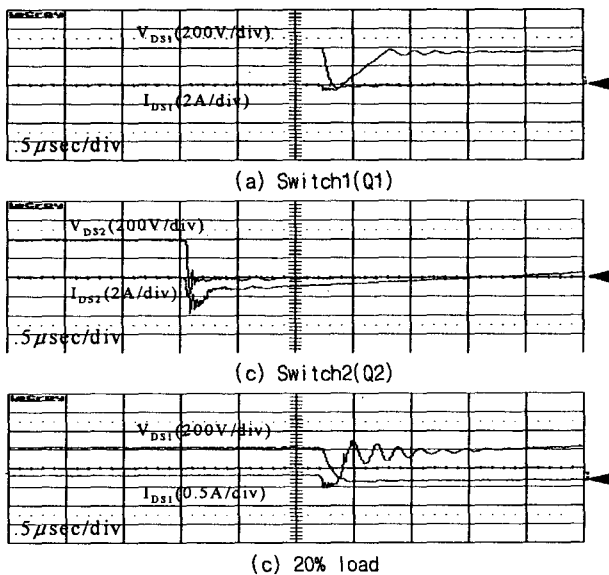


Fig 6 Experiment wave forms(ZVS of Proposed converter)

5. 결론

본 논문에서는 직렬로 연결된 자화전류가 비대칭인 두 개의 변압기를 채용하여 능동 클램프 포워드 컨버터를 제안하였다. 그 결과 두 개의 변압기가 교번으로 출력 인덕터 역할을 하고

도통손실을 줄이고 주 스위치의 ZVS 범위를 넓히는 효과를 얻을 수 있었다. 그리고 모드 해석을 통하여 제안된 컨버터의 동작을 확인하였다.

200V 입력, 50V 출력의 250W급 컨버터를 (a) Low L_m , (b) High L_m 인 경우, (c) 제안된 컨버터에 대하여 각각의 prototype을 제작하고 결과를 비교분석 하였다. 제안된 컨버터의 효율은 정격에서 약 92%을 나타냈으며 최대 95%까지 얻을 수 있었고 10% load에서도 94%의 효율을 나타냈다. 기존의 Low L_m 인 경우 정격에서 91%, 최대 93%, 10% load에서 86%를 나타냈다. High L_m 인 경우 정격에서 92%, 최대 93%, 10% load에서 89%를 나타냈다.

본 논문에서 제안한 두 개의 변압기를 이용한 능동클램프 포워드 컨버터의 새로운 동작방법은 도통손실을 줄이고, ZVS범위를 넓히는 장점이 있다.

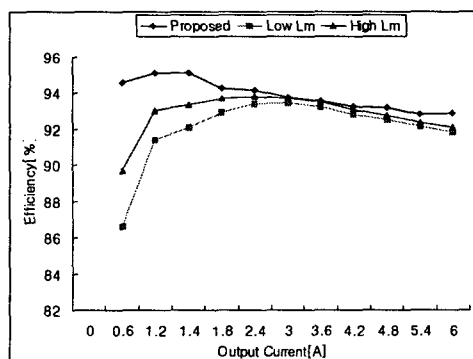


Fig 7 Efficiency

참고 문헌

- [1] R Watson, FC Lee, GC Hua, "Utilization of an active clamp circuit to achieve soft switching in flyback converters", Power Electronics, IEEE Transactions on, 1996.
- [2] I.cohen, D. hills, N. Y., "Pulse width modulated DC/DC converter with reduced ripple current stress and zero voltage switching capability," U.S. patent 5,291,382.
- [3] Yonghan Kang, Byungcho Choi, and Wonseok Lim, "Analysis and Design of a Forward-Flyback Converter Employing Two Transformers", in Proc, IEEE PESC 2001, pp.357-362.
- [4] GB Koo, GW Moon, MJ Youn, "Analysis and design of phase shift full bridge converter with series-connected two transformers", Power Electronics, IEEE Transactions on, 2004.